

Reação-Difusão: Modelo de Gray-Scott

Ou: Como Gerar Imagens Bonitas

Thales Magalhães
Tiago Montalvão

ANEDO
Profª Juliana Valério

Equações de Reação-Difusão

- Modelam a evolução de concentrações ao longo do tempo
- Tipicamente são concentrações de substâncias químicas
- Dividida nos componentes “reação” e “difusão”

$$\partial_t \mathbf{q} = \underline{\underline{\mathbf{D}}} \nabla^2 \mathbf{q} + \mathbf{R}(\mathbf{q})$$

Componente único

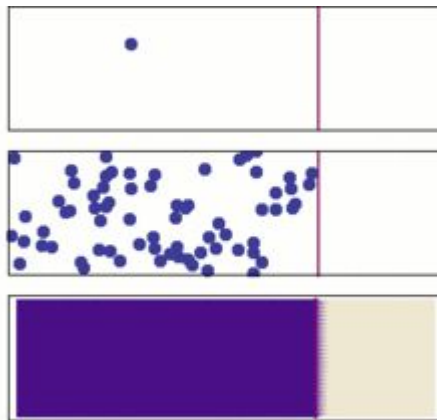
- Versão mais simples da equação
- Ainda assim pode modelar diversos fenômenos

$$\partial_t u = D \partial_x^2 u + R(u)$$

Componente único: Leis de Fick

- Modela a difusão unidimensional ao longo do tempo.

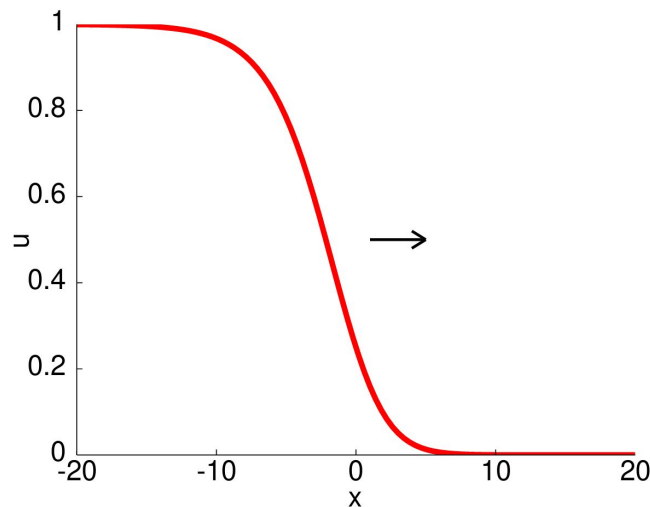
$$\frac{\partial \varphi}{\partial t} = D \frac{\partial^2 \varphi}{\partial x^2}$$



Componente único: Equação de Fisher

- Pode ser utilizada para modelar diversos fenômenos
- Dentre eles fenômenos: ecológicos, de combustão, cristalização, transição de fases

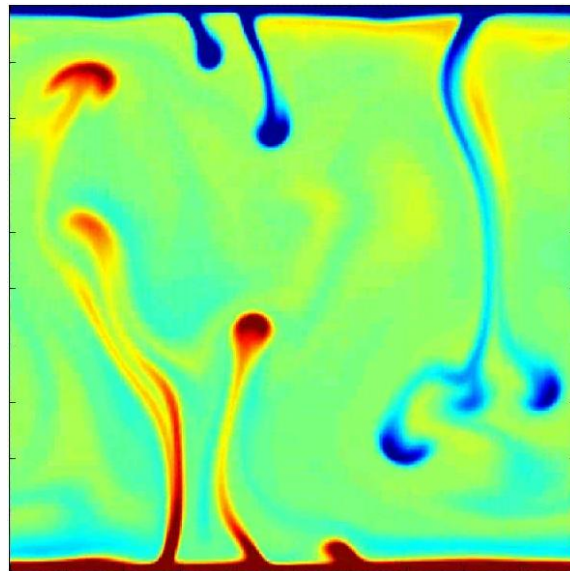
$$R(u) = u(1 - u)$$



Componente único: Rayleigh-Bénard

- Modela fenômenos de convecção
- Equação de Newell-Whitehead-Segel

$$R(u) = u(1 - u^2)$$



Dois componentes

- Modela fenômenos mais complexos
- Apresenta diversas propriedades emergentes
- Estabilidade?

$$\begin{pmatrix} \partial_t u \\ \partial_t v \end{pmatrix} = \begin{pmatrix} D_u & 0 \\ 0 & D_v \end{pmatrix} \begin{pmatrix} \partial_{xx} u \\ \partial_{xx} v \end{pmatrix} + \begin{pmatrix} F(u, v) \\ G(u, v) \end{pmatrix} \begin{pmatrix} \tilde{u}_k(t) \\ \tilde{v}_k(t) \end{pmatrix}.$$

$$\tilde{\mathbf{q}}_k(\mathbf{x}, t) = \begin{pmatrix} \tilde{u}(t) \\ \tilde{v}(t) \end{pmatrix} e^{i\mathbf{k} \cdot \mathbf{x}}$$

$$\begin{pmatrix} \tilde{u}_k(t) \\ \tilde{v}_k(t) \end{pmatrix} = -k^2 \begin{pmatrix} D_u \tilde{u}_k(t) \\ D_v \tilde{v}_k(t) \end{pmatrix} + \mathbf{R} \begin{pmatrix} \tilde{u}_k(t) \\ \tilde{v}_k(t) \end{pmatrix},$$

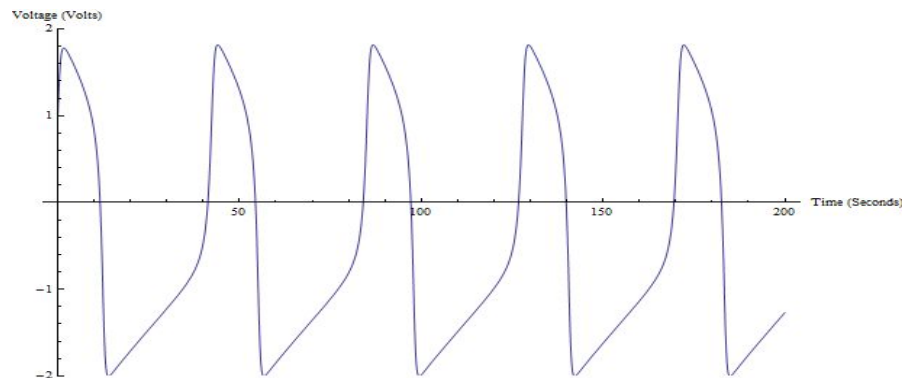
Dois componentes: FitzHugh-Nagumo

- Modela sistemas de tipo ativador-inibidor

$$\begin{aligned}\partial_t u &= d_u^2 \nabla^2 u + f(u) - \sigma v \\ \tau \partial_t v &= d_v^2 \nabla^2 v + u - v\end{aligned}$$

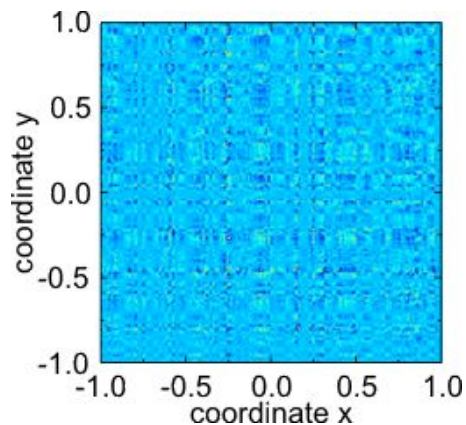
- Por exemplo, como o potencial de ação se propaga ao longo de um neurônio

$$f(u) = \lambda u - u^3 - \kappa$$

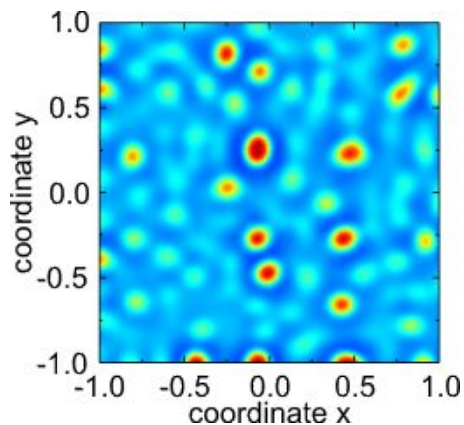


Dois componentes: FitzHugh-Nagumo

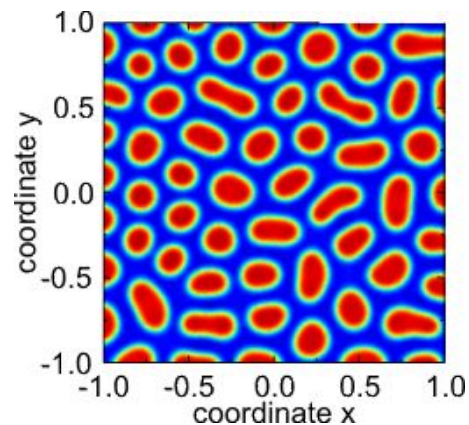
- Mudança de parâmetros leva a uma “bifurcação”
- Pode levar a um novo estado estável ou oscilatório



$t = 0$



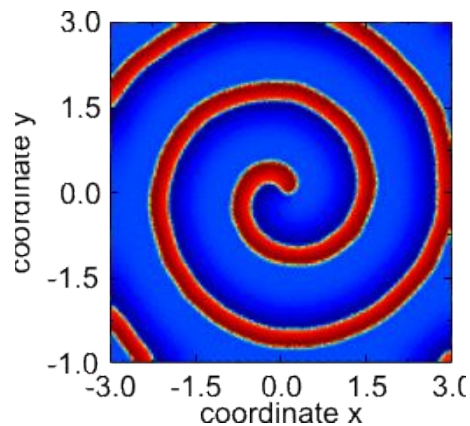
$t = 10$



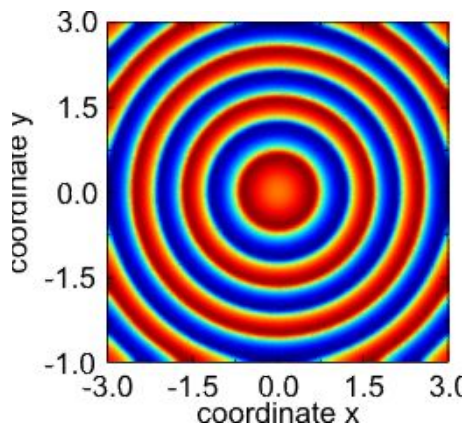
$t = 100$

Dois componentes: FitzHugh-Nagumo

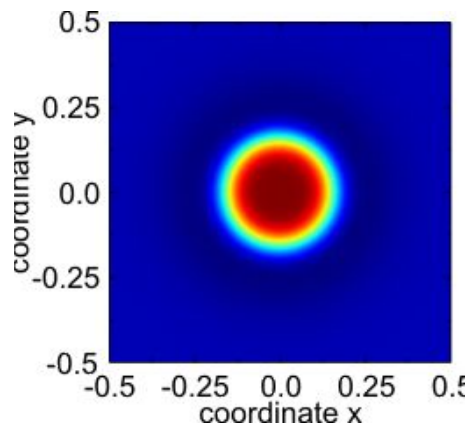
- Apresenta diversos padrões emergentes
- Dependem do estado inicial e parâmetros



Espiral rotatória



Alvo



Pulso

Dois componentes: Modelo de Gray-Scott

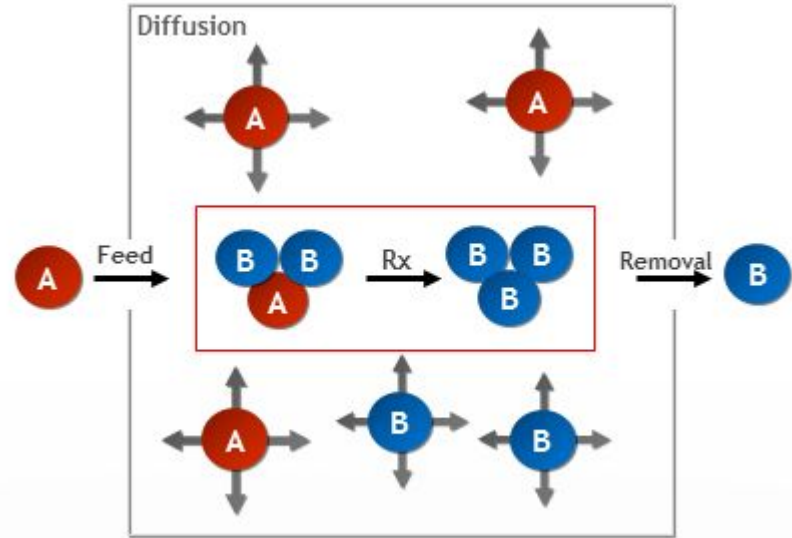
- Dois componentes U e V reagem e P inerte
- A reação é dada por:



- U e V difundem no meio, com taxas respectivamente D_u e D_v .
- O componente U é adicionado ao sistema a uma taxa f (feed rate).
- O componente V torna-se P a uma taxa k (kill rate).

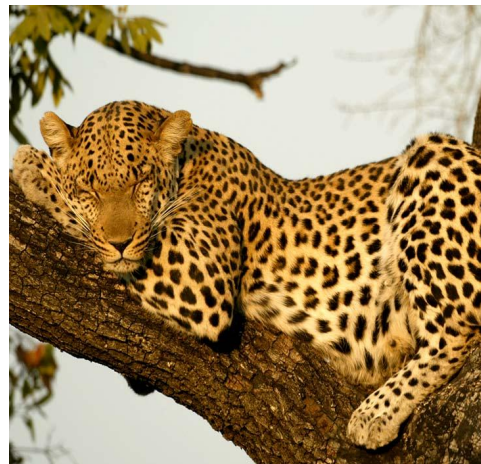
Dois componentes: Modelo de Gray-Scott

$$\frac{\partial u}{\partial t} = D_u \nabla^2 u - uv^2 + F(1 - u)$$
$$\frac{\partial v}{\partial t} = D_v \nabla^2 v + uv^2 - (F + k)v$$



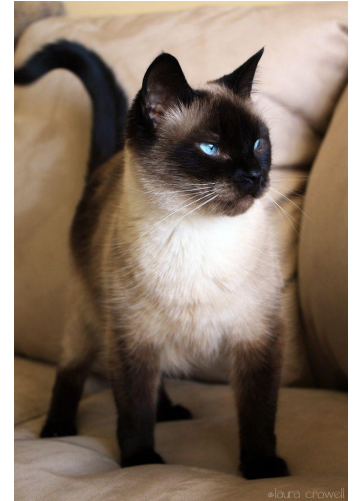
Dois componentes: Modelo de Gray-Scott

- Apesar de simples, é capaz de reproduzir diversos tipos de fenômenos naturais



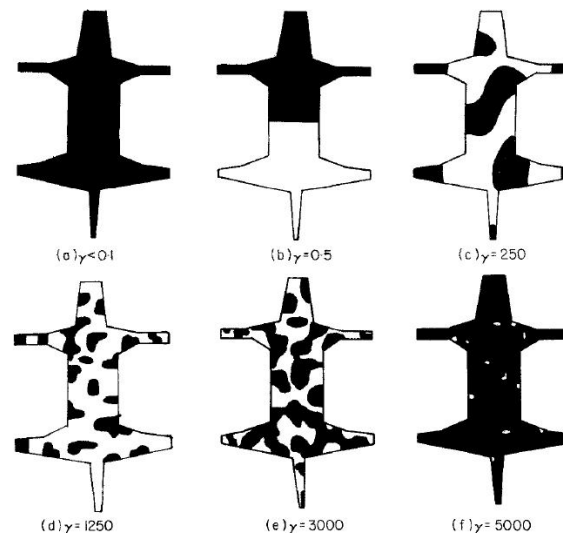
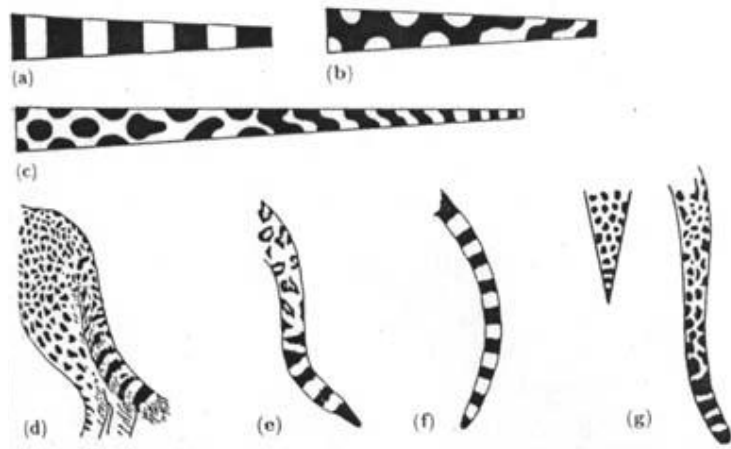
Formação de Manchas em Animais

- A formação de manchas em animais se dá por vários mecanismos
- A biologia ainda não explica alguns desses mecanismos por completo
- James Murray sugeriu uma possível explicação para alguns destes mecanismos
- Segundo a teoria, durante o desenvolvimento do embrião reações do tipo ativador-inibidor determinam a formação de manchas no animal



Formação de Manchas em Animais

- O formato e a escala do domínio afetam os padrões formados



Formação de Manchas em Animais

- O formato e a escala do domínio afetam os padrões formados



Genetta



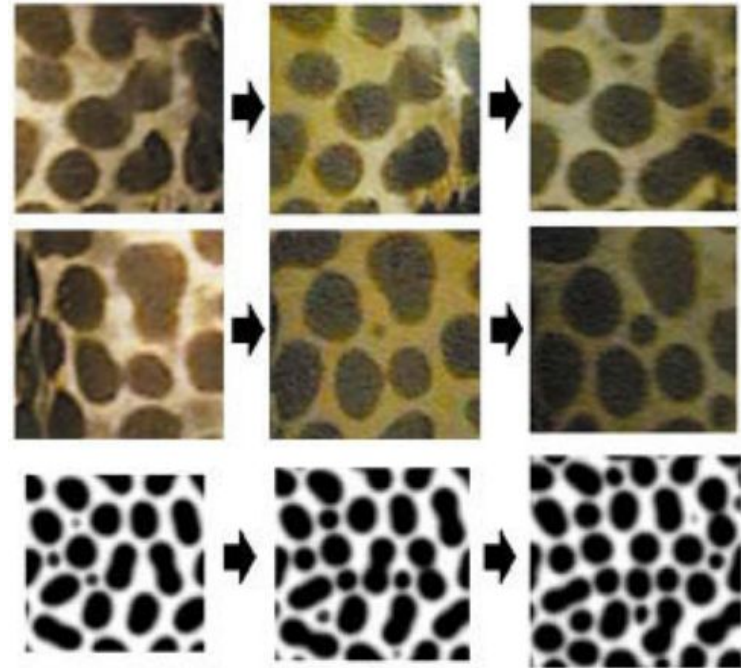
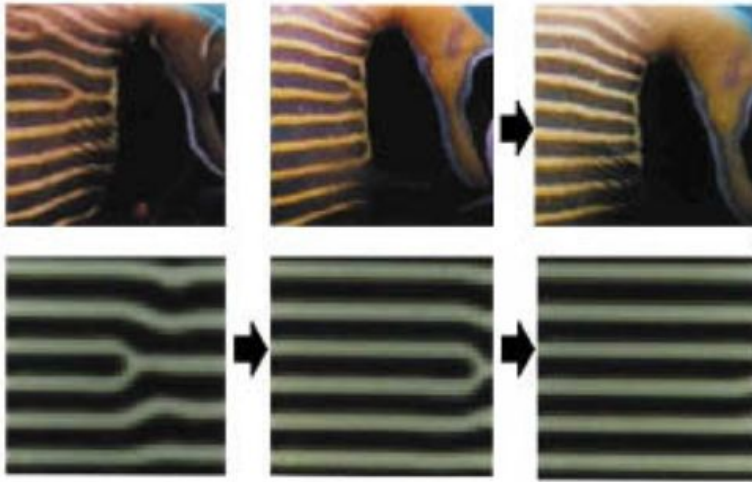
Ocap



Guepardo

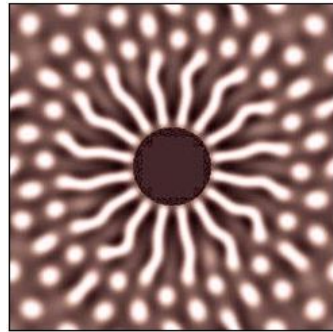
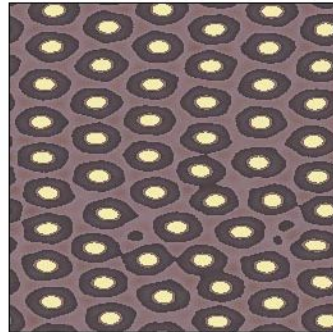
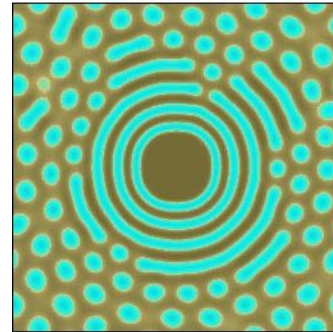
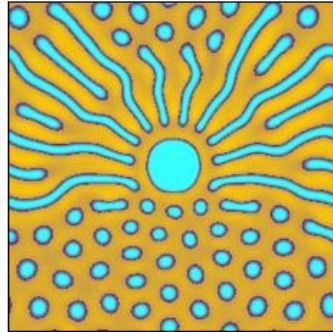
Formação de Manchas em Animais

- Alterações nas manchas ao longo do tempo são reproduzidas pelo modelo



Formação de Manchas em Animais

- Teoria de Murray: prova irrefutável



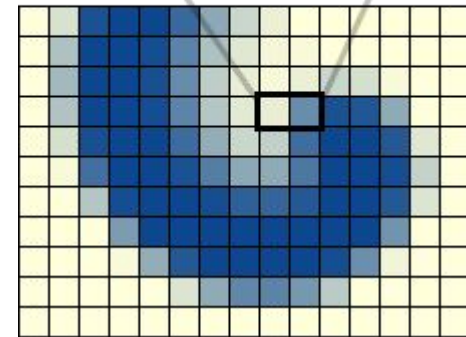
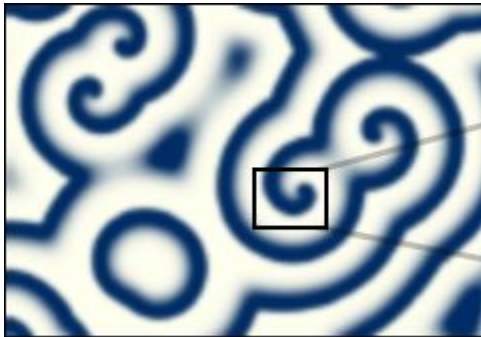
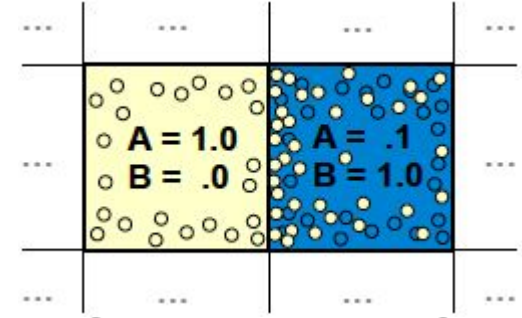
Solução numérica

- Discretização do tempo e do espaço
- Solução por método do passo único:
 - Euler explícito
 - Runge-Kutta de 2ª ordem
 - Runge-Kutta de 4ª ordem
- Aproximação do laplaciano:

$$\begin{bmatrix} 0.05 & 0.20 & 0.05 \\ 0.20 & -1.00 & 0.20 \\ 0.05 & 0.20 & 0.05 \end{bmatrix}$$

Solução numérica

- Espaço modelado como uma matriz $M \times N$
- Cada célula contém as concentrações de U e V



Euler explícito

Sejam:

$$f_u(u, v) = D_u \nabla^2 u - uv^2 + F(1 - u)$$

$$f_v(u, v) = D_v \nabla^2 v + uv^2 - (F + k)v$$

O Euler explícito atualiza os valores U e V da seguinte forma:

$$u' = u + f_u(u, v)\Delta t$$

$$v' = v + f_v(u, v)\Delta t$$

Runge-Kutta de 2ª ordem

O RK2 atualiza os valores U e V da seguinte forma:

$$u' = u + (u_1 + u_2) \frac{\Delta t}{2}$$

$$v' = v + (v_1 + v_2) \frac{\Delta t}{2}$$

$$u_1 = f_u(u, v)$$

$$u_2 = f_u(u + u_1 \Delta t, v + v_1 \Delta t)$$

$$v_1 = f_v(u, v)$$

$$v_2 = f_v(u + u_1 \Delta t, v + v_1 \Delta t)$$

Runge-Kutta de 4ª ordem

O RK4 atualiza os valores U e V da seguinte forma:

$$u' = u + (u_1 + 2u_2 + 2u_3 + u_4) \frac{\Delta t}{6}$$

$$v' = v + (v_1 + 2v_2 + 2v_3 + v_4) \frac{\Delta t}{6}$$

$$u_1 = f_u(u, v)$$

$$v_1 = f_v(u, v)$$

$$u_2 = f_u \left(u + u_1 \frac{\Delta t}{2}, v + v_1 \frac{\Delta t}{2} \right)$$

$$v_2 = f_v \left(u + u_1 \frac{\Delta t}{2}, v + v_1 \frac{\Delta t}{2} \right)$$

Runge-Kutta de 4ª ordem

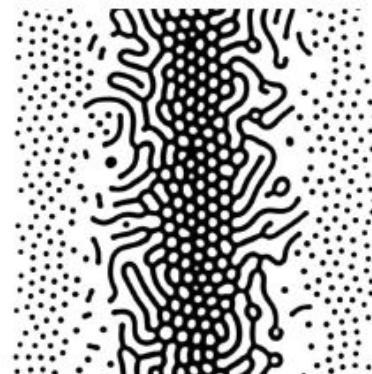
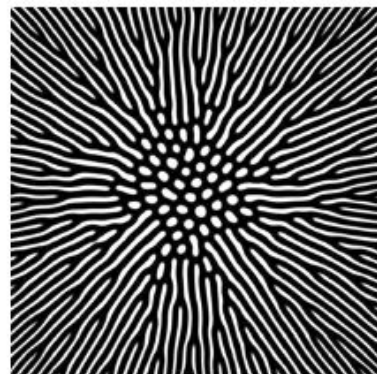
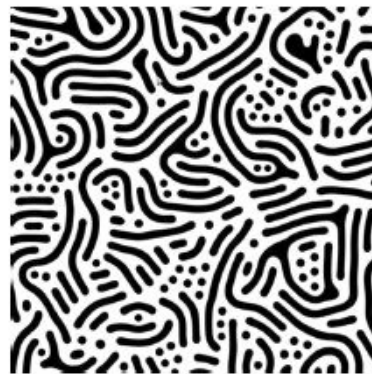
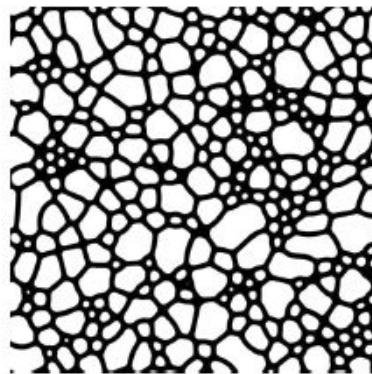
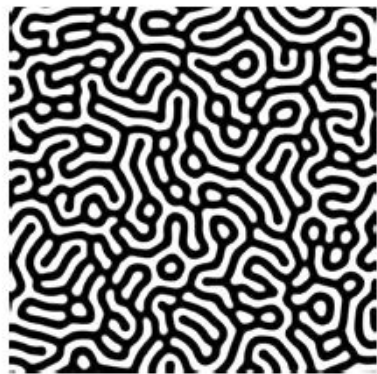
$$u_3 = f_u \left(u + u_2 \frac{\Delta t}{2}, v + v_2 \frac{\Delta t}{2} \right)$$

$$v_3 = f_v \left(u + u_2 \frac{\Delta t}{2}, v + v_2 \frac{\Delta t}{2} \right)$$

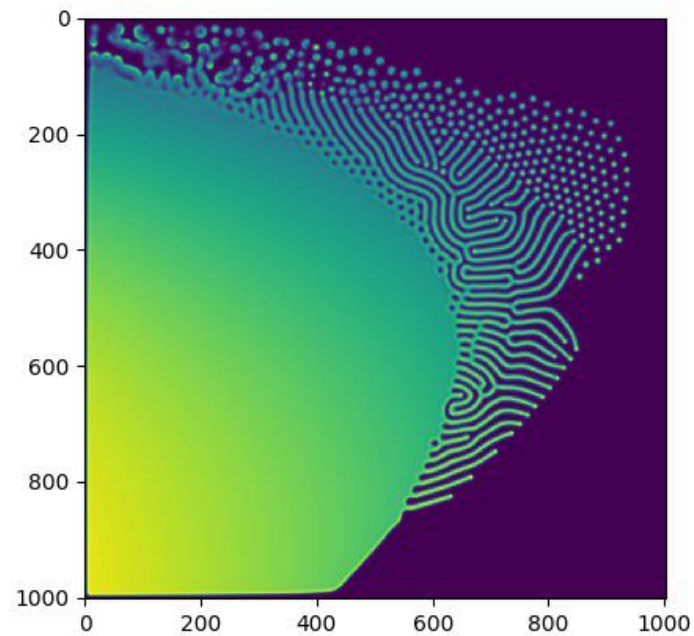
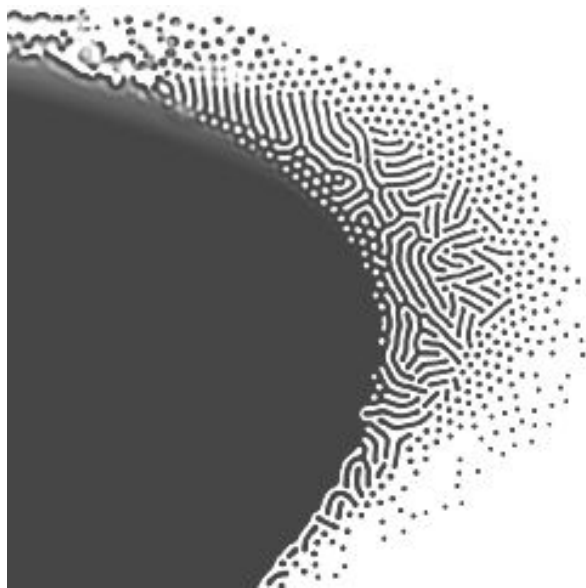
$$u_4 = f_u(u + u_3 \Delta t, v + v_3 \Delta t)$$

$$v_4 = f_v(u + u_3 \Delta t, v + v_3 \Delta t)$$

Resultados (dos outros)



Resultados



Resultados

Demonstração

Referências

- https://en.wikipedia.org/wiki/Reaction%E2%80%93diffusion_system
- Karl Sims. <http://www.karlsims.com/rd.html>
- Robert Munafo. <http://www.mrob.com/pub/comp/xmorphia/index.html>
- <http://www.algosome.com/articles/reaction-diffusion-gray-scott.html>
- <https://pmneila.github.io/jsexp/grayscale/>
- <https://www.wired.com/2011/02/turing-patterns/>